

PCT

WELTOORGANISATION FÜR GEISTIGES EIGENTUM

Internationales Büro

INTERNATIONALE ANMELDUNG VERÖFFENTLICH NACH DEM VERTRAG ÜBER DIE
INTERNATIONALE ZUSAMMENARBEIT AUF DEM GEBIET DES PATENTWESENS (PCT)



(51) Internationale Patentklassifikation ⁶ :	A1	(11) Internationale Veröffentlichungsnummer: WO 99/67869
H02J 7/00		(43) Internationales Veröffentlichungsdatum: 29. Dezember 1999 (29.12.99)

(21) Internationales Aktenzeichen:	PCT/EP99/03168	(81) Bestimmungsstaaten: CA, JP, US, europäisches Patent (AT, BE, CH, CY, DE, DK, ES, FI, FR, GB, GR, IE, IT, LU, MC, NL, PT, SE).
(22) Internationales Anmeldedatum:	8. Mai 1999 (08.05.99)	
(30) Prioritätsdaten:		Veröffentlicht <i>Mit internationalem Recherchenbericht.</i>
198 27 880.2	23. Juni 1998 (23.06.98)	DE
(71) Anmelder (<i>für alle Bestimmungsstaaten ausser US</i>):	DBB FUEL CELL ENGINES GESELLSCHAFT MIT BESCHRÄNKTER HAFTUNG [DE/DE]; Neue Strasse 95, D-73230 Kirchheim (DE).	
(72) Erfinder; und		
(75) Erfinder/Anmelder (<i>nur für US</i>):	JANSEN, Axel [DE/DE]; Junginger Strasse 7, D-89081 Ulm (DE). MÜLLER, Jens [DE/DE]; Burgsteige 26, D-89134 Blaustein (DE). PAUL, Steffen [DE/DE]; Filchner Strasse 32, D-81476 München (DE). SONNTAG, Josef [DE/DE]; Ulmer Strasse 33 B, D-89250 Senden (DE).	
(74) Anwälte:	KOCHER, Klaus-Peter usw.; DaimlerChrysler AG, Intellectual Property Management, FTP – C 106, D-70546 Stuttgart (DE).	

(54) Title: CIRCUIT SYSTEM FOR AN INTEGRATED FUEL CELL SYSTEM

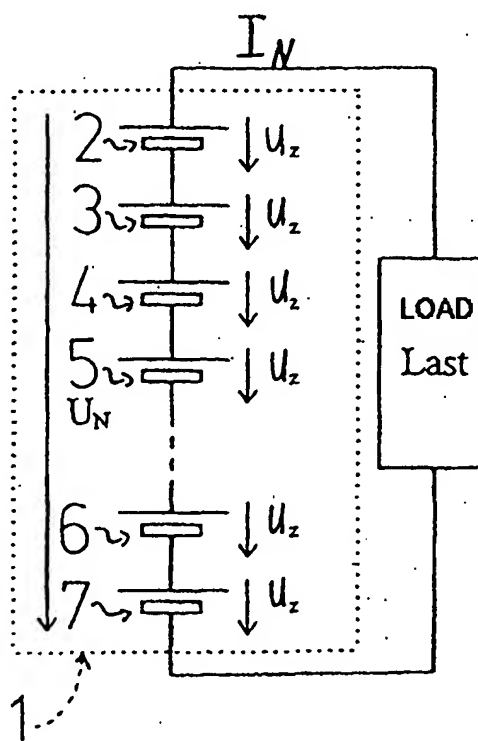
(54) Bezeichnung: SCHALTUNGSANORDNUNG FÜR EIN BRENNSTOFFZELLENVERBUNDSYSTEM

(57) Abstract

The invention relates to a circuit system for an integrated fuel cell system which consists of several individual fuel cells connected in series, the voltage of the individual fuel cells being monitored. The invention provides for components by means of which the individual fuel cells can be bypassed in the manner of a low-ohmic parallel connection. The invention further relates to a method for operating such a circuit system where the fuel cells are bypassed when their voltage falls below a defined threshold value or their voltage has undergone a sign reversal in relation to normal operations or, provided the components are controllable switches to be controlled, if the integrated fuel cell system is to be discharged.

(57) Zusammenfassung

Die vorliegende Erfindung betrifft eine Schaltungsanordnung für ein Brennstoffzellenverbundsystem, das aus mehreren einzelnen in Reihe geschalteten einzelnen Brennstoffzellen besteht, wobei eine Spannungüberwachung der einzelnen Brennstoffzellen erfolgt, wobei Bauelemente vorhanden sind, mittels denen die einzelnen Brennstoffzellen im Sinne einer niederohmigen Parallelschaltung überbrückbar sind. Weiterhin betrifft die Erfindung ein Verfahren zum Betreiben einer derartigen Schaltungsanordnung, wobei die Brennstoffzellen überbrückt werden, wenn deren Spannung betragsmäßig unter einen bestimmten Schwellwert fällt oder wenn deren Spannung gegenüber den Normalbetrieb das Vorzeichen geändert hat oder aber, wobei die Bauelemente steuerbare Schalter sind, die angesteuert werden, wenn eine Entladung des Brennstoffzellenverbundsystems erfolgen soll.



BEST AVAILABLE COPY

LEDIGLICH ZUR INFORMATION

Codes zur Identifizierung von PCT-Vertragsstaaten auf den Kopfbögen der Schriften, die internationale Anmeldungen gemäss dem PCT veröffentlichen.

AL	Albanien	ES	Spanien	LS	Lesotho	SI	Slowenien
AM	Arlenien	FI	Finnland	LT	Litauen	SK	Slowakei
AT	Österreich	FR	Frankreich	LU	Luxemburg	SN	Senegal
AU	Australien	GA	Gabun	LV	Lettland	SZ	Swasiland
AZ	Aserbaidschan	GB	Vereinigtes Königreich	MC	Monaco	TD	Tschad
BA	Bosnien-Herzegowina	GE	Georgien	MD	Republik Moldau	TG	Togo
BB	Barbados	GH	Ghana	MG	Madagaskar	TJ	Tadschikistan
BE	Belgien	GN	Guinea	MK	Die ehemalige jugoslawische Republik Mazedonien	TM	Turkmenistan
BF	Burkina Faso	GR	Griechenland	ML	Mali	TR	Türkei
BG	Bulgarien	HU	Ungarn	MN	Mongolei	TT	Trinidad und Tobago
BJ	Benin	IE	Irland	MR	Maurenien	UA	Ukraine
BR	Brasilien	IL	Israel	MW	Malawi	UG	Uganda
BY	Belarus	IS	Island	MX	Mexiko	US	Vereinigte Staaten von Amerika
CA	Kanada	IT	Italien	NE	Niger	UZ	Usbekistan
CF	Zentralafrikanische Republik	JP	Japan	NL	Niederlande	VN	Vietnam
CG	Kongo	KE	Kenia	NO	Norwegen	YU	Jugoslawien
CH	Schweiz	KG	Kirgisistan	NZ	Neuseeland	ZW	Zimbabwe
CI	Côte d'Ivoire	KP	Demokratische Volksrepublik Korea	PL	Polen		
CM	Kamerun	KR	Republik Korea	PT	Portugal		
CN	China	KZ	Kasachstan	RO	Rumänien		
CU	Kuba	LC	St. Lucia	RU	Russische Föderation		
CZ	Tschechische Republik	LI	Liechtenstein	SD	Sudan		
DE	Deutschland	LK	Sri Lanka	SE	Schweden		
DK	Dänemark	LR	Liberia	SG	Singapur		
EE	Estland						

Schaltungsanordnung für ein Brennstoffzellenverbundsystem

Die vorliegende Erfindung betrifft eine Schaltungsanordnung nach dem Oberbegriff des Patentanspruches 1 sowie Verfahren zum Betreiben einer Schaltungsanordnung nach den Oberbegriffen der Patentansprüche 14 und 15.

Bei H_2/O_2 - Brennstoffzellenverbundsystemen können Betriebszustände eintreten, bei denen einzelne Zellen ihre Polarität vertauschen. Der Betrag der Zellenspannung liegt in diesem Fall bei etwa 0,5 V. In diesem Betriebszustand wirkt die Zelle als Verbraucher und erwärmt sich dabei unzulässig hoch oder wird sogar zerstört. Beispielsweise kann in einem mobilen Energieerzeugungssystem mittels eines Brennstoffzellenverbundsystems elektrische Energie erzeugt werden, die wiederum zum Antrieb elektrischer Maschinen benutzt werden kann.

Das Brennstoffzellenverbundsystem besteht aus mehreren einzelnen Brennstoffzellen, die in Reihe geschaltet sind. Jede dieser einzelnen Brennstoffzellen liefert den Nennstrom I_N des Brennstoffzellenverbundsystems, die Summe der Spannungen der einzelnen Brennstoffzellen ergibt die Nennspannung U_N des Brennstoffzellenverbundsystems. Die elektrische Energieerzeugung findet also in den einzelnen Brennstoffzellen durch eine elektrochemische Reaktion von z.B. Wasserstoff, wasserstoffhaltigem Gas, Methanol oder ähnlichem statt. Beim Betrieb kann es innerhalb einzelner Brennstoffzellen zum Ausfall der Wasserstoff- bzw. Sauerstoffversorgung kommen. Hierdurch verschieben sich je nach fehlendem Stoff die Spannungspotentiale der Anode oder der Kathode und die Spannung dieser einzelnen Brennstoffzelle driftet vom positiven in den negativen Bereich. Das bedeutet, daß sich diese Brennstoffzelle verpolt. Indem diese verpolte Brennstoffzelle mit den übrigen unverpolten Brennstoffzellen in Reihe geschaltet ist, wird der von den unverpolten Brennstoffzellen erzeugte Laststrom in die verpolte Brennstoffzelle eingeprägt. Die verpolte Brennstoffzelle wird dadurch zum Verbraucher und erwärmt sich aufgrund der in ihr abfallenden Verlustleistung. Dadurch kann die verpolte Brennstoffzelle zerstört werden. Je nach Wärmeentwicklung kann unter Umständen auch das gesamte Brennstoffzellenverbundsystem zerstört werden.

Um dies zu vermeiden, ist es bekannt, die Spannungen der einzelnen Brennstoffzellen zu erfassen. Wenn bezüglich einzelner Brennstoffzellen erkannt wird, daß die Spannung

zu stark abfällt oder sich bereits umgepolt, wird die Zufuhr von Gas zu dem gesamten Brennstoffzellenverbundsystem unterbunden, um eine Zerstörung des Brennstoffzellenverbundsystems zu vermeiden.

Demgegenüber ist es die Aufgabe der vorliegenden Erfindung, bedarfsgerechte Maßnahmen vorzuschlagen, um im Fehlerfall einzelner Brennstoffzellen eine Zerstörung oder Beschädigung des Brennstoffzellenverbundsystems oder einzelner Zellen zu vermeiden.

Diese Aufgabe wird erfundungsgemäß nach Anspruch 1 gelöst, wonach Bauelemente vorhanden sind, mittels denen die einzelnen Brennstoffzellen im Sinne einer niederohmigen Parallelschaltung überbrückbar sind.

Indem also einzelne defekte Brennstoffzellen überbrückbar sind, kann das Brennstoffzellenverbundsystem in Betrieb bleiben, indem die elektrische Energie von den verbleibenden Brennstoffzellen geliefert wird.

Bei der Ausgestaltung der Schaltungsanordnung nach Anspruch 2 sind die Bauelemente Dioden.

Dadurch kann eine selbsttätige Regelung erfolgen, indem die Dioden so ausgewählt werden, daß die Flussspannung der Dioden einen Wert hat, bei dem die einzelne Brennstoffzelle wegen einer Verpolung sinnvollerweise überbrückt werden sollte. Im Normalbetrieb der einzelnen Brennstoffzellen sind die Dioden in Sperrichtung geschaltet.

Bei der Ausgestaltung der Schaltungsanordnung nach Anspruch 3 sind die Bauelemente steuerbare Schalter.

Durch die Verwendung steuerbarer Schalter lässt sich die Überbrückung der einzelnen Brennstoffzellen flexibler vornehmen. Beispielsweise können diese steuerbaren Schalter bereits angesteuert werden, wenn sich die Spannung der einzelnen Brennstoffzellen noch nicht umgepolt hat sondern unter einen bestimmten Schwellwert gesunken ist, der beispielsweise bei 0,5 V liegen kann.

Weiterhin ist es bei Verwendung steuerbarer Schalter möglich, bei Wartungsarbeiten durch eine Ansteuerung der steuerbaren Schalter eine Entladung des

Brennstoffzellenverbundsystems zu bewirken, so daß eine Gefährdung von Personen bei den durchzuführenden Wartungsarbeiten vermieden werden kann.

Bei der Ausgestaltung der Schaltungsanordnung nach Anspruch 4 sind die steuerbaren Schalter MOS-Feldeffekttransistoren.

Dadurch kann die Ansteuerung weitestgehend frei von Verlustleistungen auch bei vergleichsweise großen geschalteten Leistungen erfolgen.

Bei der Ausgestaltung der Schaltungsanordnung nach Anspruch 5 sind die Bauelemente außen am Brennstoffzellenverbundsystem angebracht.

Vorteilhaft ist es, wenn die Kontaktierung der Bauelemente eine große Fläche aufweist, um die Stromdichte und damit die lokale Wärmeentwicklung zu minimieren. Weiterhin ist es vorteilhaft, wenn die Wärme einfach abgeführt werden kann.

Anspruch 5 beschreibt eine Schaltungsanordnung, die insbesondere der Anforderung an die Wärmeabfuhr vorteilhaft gerecht wird. Die Kontaktierung der Bauelemente kann zwischen den Graphitplatten erfolgen.

Bei der Ausgestaltung der Schaltungsanordnung nach Anspruch 6 sind die Bauelemente in das Brennstoffzellenverbundsystem integriert.

Dadurch vereinfacht sich der Herstellungsprozeß, weil die Bauelemente nicht als separate Bauteile vorhanden sein müssen. Weiterhin ist es dabei möglich, durch eine entsprechend geeignete Dimensionierung der Bauteile die Stromdichte zu begrenzen.

In vorteilhafter Ausgestaltung sind die Bauelemente gemäß der Schaltungsanordnung nach Anspruch 7 in den Rand des Brennstoffzellenverbundsystems integriert.

Dadurch wird vorteilhaft die Kontaktierung der Bauelemente vereinfacht, weil diese die Graphitplatten direkt berühren. Indem die Bauelemente in den Rand eingebbracht sind, ist weiterhin eine gute Wärmeabfuhr gewährleistet.

Bei der Ausgestaltung der Schaltungsanordnung nach Anspruch 8 sind die Bauelemente über die Querschnittsfläche des Brennstoffzellenverbundsystems verteilt in das Brennstoffzellenverbundsystem integriert.

Dadurch bilden die Bauelemente keine zusätzlichen Bauteile mehr, so daß der Produktionsablauf vereinfacht wird.

Bei der Ausgestaltung der Schaltungsanordnung nach Anspruch 9 ist ein Kühlssystem in das Brennstoffzellenverbundsystem integriert.

Dadurch wird vorteilhaft die Verlustwärme abgeführt, die in den Bauelementen entsteht und die nicht unmittelbar an die Umgebung abgegeben werden kann.

Bei der Ausgestaltung einer Schaltungsanordnung nach Anspruch 10 erfolgt eine Ansteuerung des steuerbaren Schalters über den Ausgang eines Verstärkers bzw. Komparators, dessen Ausgang an den Steueranschluß des steuerbaren Schalters angeschlossen ist, dessen Eingang mit den Anschlüssen der einzelnen Brennstoffzelle verbunden ist, wobei die Energieversorgung des Verstärkers bzw. Komparators erfolgt, indem der Verstärker bzw. Komparator über Stromquellen bzw. Stromsenken an die Anschlußklemmen einer Batterieanordnung angeschlossen ist, wobei den Anschlüssen zur Energieversorgung weiterhin ein Potentialverschiebeelement parallelgeschaltet ist, wobei diesem Potentialverschiebeelement ein Spannungsteilungselement parallelgeschaltet ist, dessen Abgriff mit dem anderen Anschluß der einzelnen Brennstoffzelle verbunden ist.

Das Potentialverschiebeelement kann beispielsweise eine Zenerdiode sein. Das Spannungsteilungselement kann ein Potentiometer oder eine unterteilte Zenerdiode sein.

Dadurch wird es vorteilhaft möglich, durch eine interne Bezugsspannung des Verstärkers bzw. Komparators die Leistungsversorgung aus einer Batterieanordnung - beispielsweise auch aus dem Brennstoffzellenverbundsystem selbst - vorzunehmen. Durch diese Schaltungsanordnung werden die Probleme vermieden, die durch eine Potentialverschiebung abhängig davon auftreten, welche der einzelnen Brennstoffzellen untersucht werden soll. Weiterhin nehmen die Stromquellen eventuelle Betriebsspannungsschwankungen der Batterieanordnung auf.

Der steuerbare Schalter kann als MOS-Anreicherungs- oder Verarmungstransistor vom n- oder p-Kanal-Typ ausgebildet sein oder auch als Darlington-Bipolartransistor vom npn- oder pnp-Typ. Durch die Wahl des entsprechenden steuerbaren Schalters wird der Verstärker bzw. Komparator (invertierend / nicht invertierend) sowie die zweckmäßige Zuordnung des Betriebsspannungsbezugspunktes bestimmt.

Bei der Schaltungsanordnung nach Anspruch 11 ist insbesondere bei den Brennstoffzellen, die am Rand des Brennstoffzellensystems angeordnet sind, zwischen den einen Anschluß der einzelnen Brennstoffzelle und den Eingang des Verstärkers bzw. Komparators sowie zwischen den Abgriff des Spannungsteilungselementes und den anderen Anschluß der einzelnen Brennstoffzelle jeweils eine Potentialverschiebeschaltung angeordnet.

Dadurch kann vorteilhaft ein hinreichendes Spannungsniveau auch zur Überwachung der am Rand des Brennstoffzellensystems befindlichen einzelnen Brennstoffzellen erreicht werden.

Eine weitere vorteilhafte Ausgestaltung der Schaltungsanordnung ist in Anspruch 12 beschrieben, nach dem zwischen den Ausgang des Komparators bzw. Verstärkers und den Steueranschluß des steuerbaren Schalters eine Potentialverschiebeschaltung eingebracht ist.

Weiterhin erweist es sich gemäß Anspruch 13 als vorteilhaft, die Schaltungsanordnung so auszubilden, daß die Spannungen der einzelnen Brennstoffzellen mittels eines Verstärkers bzw. Komparators bewertet werden, dessen Ausgang mit wenigstens einem Optokoppler verbunden ist, wobei die Steuerung des steuerbaren Bauelementes über den Optokoppler erfolgt.

Insbesondere bei der Überwachung von einzelnen Brennstoffzellen, die am Rand des Brennstoffzellenverbundsystems angeordnet sind, kann durch die Ausgestaltungen der Schaltungsanordnung nach Anspruch 12 oder 13 eine hinreichende Spannung zur Ansteuerung des steuerbaren Bauelementes erreicht werden.

Vorteilhaft kann die Schaltungsanordnung gemäß Anspruch 14 als integrierte Schaltung ausgebildet sein.

Bei einem Verfahren zum Betreiben einer Schaltungsanordnung gemäß Anspruch 15 werden die Brennstoffzellen überbrückt, wenn deren Spannung betragsmäßig unter einen bestimmten Schwellwert fällt oder wenn deren Spannung gegenüber dem Normalbetrieb das Vorzeichen geändert hat.

Dies kann durch eine geeignete Einstellung bzw. Dimensionierung der Schaltungsanordnung erfolgen.

Bei einem Verfahren zum Betreiben einer Schaltungsanordnung gemäß Anspruch 16 werden die steuerbaren Schalter angesteuert, wenn eine Entladung des Brennstoffzellenverbundsystems erfolgen soll.

Dadurch kann die Sicherheit von Personen beispielsweise bei Wartungsarbeiten an dem Brennstoffzellenverbundsystem gewährleistet werden, wenn das Brennstoffzellenverbundsystem vor der Durchführung der Wartungsarbeiten entladen wird.

Realisierungsmöglichkeiten von Potentialverschiebeelementen und Stromquellen bzw. Stromsenken sind in der Anmeldung derselben Anmelderin mit der internen Nummer 27908/4 beschrieben, die denselben Anmeldetag hat und auf deren Offenbarung zur Vermeidung von Wiederholungen ausdrücklich Bezug genommen wird.

Ein Ausführungsbeispiel der Erfindung ist in der Zeichnung näher dargestellt. Es zeigt dabei im einzelnen:

- Fig. 1: ein Brennstoffzellenverbundsystem bestehend aus mehreren einzelnen Brennstoffzellen,
- Fig. 2: ein Brennstoffzellenverbundsystem bestehend aus mehreren Brennstoffzellen, von denen eine einen Defekt aufweist,
- Fig. 3: eine Schaltungsanordnung, bei der jeder einzelnen Brennstoffzelle ein Element parallel geschaltet ist, mit dem die jeweilige Brennstoffzelle niederohmig überbrückbar ist,
- Fig. 4 und 5: Ausführungsmöglichkeiten der Bauelemente,
- Fig. 6 bis 10: Anbringungsmöglichkeiten der Bauelemente am Brennstoffzellenverbundsystem,
- Fig. 11: ein Ausführungsbeispiel einer Schaltungsanordnung,
- Fig. 12-14: Signalverläufe der Schaltungsanordnung nach Figur 11,
- Fig. 15: ein weiteres Ausführungsbeispiel der Schaltungsanordnung,
- Fig. 16: ein Detail der Schaltungsanordnung,
- Fig. 17: ein weiteres Ausführungsbeispiel der Schaltungsanordnung,
- Fig. 18-20: Details der Schaltungsanordnung nach Figur 17.

Figur 1 zeigt die Darstellung eines Brennstoffzellenverbundsystems 1, das aus mehreren einzelnen Brennstoffzellen besteht, die mit den Ziffern 2 bis 7 nummeriert sind. Jede der einzelnen Brennstoffzellen 2, 3, 4, 5, 6 und 7 liefert den Nennstrom I_N des

Brennstoffzellenverbundsystems 1. Wegen der Reihenschaltung der einzelnen Brennstoffzellen 2 bis 7 ergibt die Summe der Zellenspannungen der einzelnen Brennstoffzellen 2 bis 7 die Nennspannung U_N des Brennstoffzellenverbundsystems. Die elektrische Energieerzeugung findet in den einzelnen Brennstoffzellen 2, 3, 4, 5, 6 und 7 durch eine elektrochemische Reaktion von z.B. Wasserstoff, wasserstoffhaltigem Gas, Methanol etc. statt.

Figur 2 zeigt wiederum ein Brennstoffzellenverbundsystem 1, bei dem allerdings eine Brennstoffzelle 3 defekt ist. Beim Betrieb des Brennstoffzellenverbundsystems 1 kann es in manchen Fällen innerhalb einzelner Zellen 2, 3, 4, 5, 6, 7 zum Ausfall der Wasserstoff- bzw. Luftversorgung kommen. Hierdurch verschieben sich je nach fehlendem Stoff die Spannungspotentiale der Anode oder der Kathode. Die Spannung dieser einzelnen Brennstoffzelle 3 driftet vom positiven in den negativen Bereich. Die einzelne Brennstoffzelle 3 verpolt sich. Durch die Reihenschaltung dieser nun verpolten einzelnen Brennstoffzelle 3 mit den übrigen unverpolten einzelnen Brennstoffzellen 2, 4, 5, 6, 7 wird der von diesen erzeugte Laststrom in die verpolte Brennstoffzelle 3 eingeprägt. Die verpolte Brennstoffzelle 3 wird dadurch zum Verbraucher und erwärmt sich aufgrund der in ihr abfallenden Verlustleistung. Dies führt zur Zerstörung der verpolten Brennstoffzelle 3 und kann je nach Wärmeentwicklung auch das gesamte Brennstoffzellenverbundsystem 1 zerstören.

Um dies zu vermeiden, ist gemäß Figur 3 vorgesehen, daß die einzelnen Brennstoffzellen 2, 3, 4, 5, 6, 7 mittels jeweils eines Bauelementes 8 im Sinne einer niederohmigen Parallelschaltung überbrückbar sind. Wenn in dem gezeigten Ausführungsbeispiel die defekte Brennstoffzelle 3 durch das dieser Brennstoffzelle 3 zugeordnete Bauelement 8 überbrückt wird, fällt in der verpolten Brennstoffzelle 3 keine Verlustleistung mehr ab.

Entsprechend der Darstellung der Figur 4 können diese Bauelemente 8 antiparallel zur Laststromrichtung parallel zu den einzelnen Brennstoffzellen 2, 3, 4, 5, 6, 7 geschaltete Dioden 9 sein. Diese Dioden 9 werden jeweils dann leitend, wenn sich die Spannung der zugehörigen einzelnen Brennstoffzelle 2, 3, 4, 5, 6, 7 umgepolt hat. Diese Schaltungsanordnung ist selbststeuernd. Das heißt, die Diode übernimmt gemäß ihrer Kennlinie den Laststrom in Abhängigkeit von der Zellenspannung. Für Spannungen über der Diodenschwellspannung kann die Diode als durchgeschaltet betrachtet werden. Durch die Wahl einer geeigneten Diode kann die Flussspannung zwischen 0,2 V für Schottky-Dioden und 0,7 V für Silizium-Dioden liegen.

Ein weiteres Ausführungsbeispiel zeigt Figur 5, wonach zu jeder einzelnen Brennstoffzelle 2, 3, 4, 5, 6, 7 MOS-FETs 10 parallel geschaltet, deren Drain-Source Strecken den Laststrom übernehmen, falls die Ansteuerelektronik 11 eine zu geringe oder negative Spannung einer einzelnen Brennstoffzelle 2, 3, 4, 5, 6, 7 erfaßt. In Figur 5 sind die Signalpegel zu sehen, die von der Ansteuerelektronik 11 an die Gates der einzelnen MOS-FETs 10 ausgegeben werden. Das Gate des MOS-FET's 10, der der defekten Brennstoffzelle 3 zugeordnet ist, wird bei dem im Ausführungsbeispiel der Figur 5 verwendeten Transistortyp mit dem Pegel HIGH beaufschlagt, so daß der Laststrom von der Drain-Source Strecke dieses MOS-FET's 10 übernommen wird. Die Gates der anderen MOS-FET's 10, die den Brennstoffzellen 2, 4, 5, 6, 7 zugeordnet sind, werden bei dem im Ausführungsbeispiel der Figur 5 verwendeten Transistortyp mit dem Pegel LOW beaufschlagt, so daß diese MOS-FET's sperren.

Mit der Schaltungsanordnung nach Figur 5 wird ebenso eine definierte, sichere und zerstörungsfreie Entladung der einzelnen Brennstoffzellen 2, 3, 4, 5, 6, 7 ermöglicht. Hierdurch kann bei abgeschaltetem Brennstoffzellenverbundsystem 1 die Gesamtspannung des Brennstoffzellenverbundsystems 1 so niedrig gehalten werden, daß beispielsweise bei der Durchführung von Wartungsarbeiten keine Personen gefährdet werden.

Es kann also eine Schutzeinrichtung mit einem steuerbaren Leistungselement als Nebenweg parallel zur einzelnen Brennstoffzelle realisiert werden. Dieses steuerbare Leistungselement wird von einer Steuereinrichtung beeinflußt, die wiederum bestimmte Einschaltbedingungen hat. Neben der gerade beschriebenen Schutzfunktion kann eine weitere Einschaltbedingung aus einem Spannungssignal der einzelnen Brennstoffzelle abgeleitet werden. Diese Spannung der einzelnen Brennstoffzelle liegt bei etwa 1 V im Normalbetrieb der Zelle mit einem stetigen Wechsel auf einen negativen Wert in der Größenordnung von -0,5 V bei Verpolung der einzelnen Brennstoffzelle.

Die Bauelemente sollen entweder außen am Brennstoffzellenverbundsystem angebracht oder in das Brennstoffzellenverbundsystem integriert werden. Dazu ist es notwendig, gegenüber den bisher bekannten Brennstoffzellenverbundsystemen konstruktive Änderungen an den Graphitplatten vorzunehmen. Für die Integration der Bauelemente in das Brennstoffzellenverbundsystem müssen entsprechende Öffnungen vorgesehen werden, deren Positionen so gewählt werden müssen, daß einerseits eine gleichmäßige Verteilung der Stromdichte über die Zellenfläche als auch eine entsprechende Abfuhrung der entstehenden Verlustleistungswärme gewährleistet ist.

Die Figuren 6 und 7 zeigen mögliche Lösungen für die Integration der Bauelemente in das Brennstoffzellenverbundsystem. Figur 6 zeigt ein Brennstoffzellenverbundsystem 1 in Seitenansicht, wobei die Graphitplatten 12 seitlich so vergrößert sind, daß genügend Platz für die Bauelemente 8 vorhanden ist. Der gesamte Laststrom kann ohne Leistungseinbuße durch den zusätzlichen Querschnitt fließen. Figur 7 zeigt einen Schnitt durch das Brennstoffzellenverbundsystem entsprechend der Darstellung der Figur 6. Es ist die MEA zu sehen, die in der Darstellung der Figur 6 mit der Bezugsziffer 13 versehen ist, an dem äußeren Rand die Bauelemente 8 angeordnet sind. Dadurch ist sichergestellt, daß die Verlustwärme an die Umgebung abgeführt werden kann. Es zeigt sich bei der Ausgestaltung entsprechend den Figuren 6 und 7, daß eine einfache Kontaktierung der Bauelemente 8 mit den Graphitplatten 12 möglich wird, weil diese unmittelbar aufeinander liegen.

Eine weitere Möglichkeit der Anbringung der Bauelemente 8 zeigt Figur 8. Hier sind die Bauelemente 8 außen an dem Brennstoffzellenverbundsystem 1 angeordnet. Die elektrischen Anschlüsse der Bauelemente 8 werden hier zwischen die Graphitplatten 12 eingefügt.

Eine weitere Möglichkeit zeigt Figur 9, bei der die Bauelemente 8 gegenüber der Anordnung nach den Figuren 6 und 7 nach innen versetzt sind. Es hat sich insbesondere bei dieser Ausgestaltung als vorteilhaft erwiesen, zusätzliche Kühlkanäle 14 vorzusehen, um eine verbesserte Wärmeabfuhr zu erreichen.

Figur 10 zeigt eine weitere Möglichkeit der Integration der Bauelemente 8 in das Brennstoffzellenverbundsystem 1. Hierbei ist die MEA 13 so aufgebaut, daß sie zusammen mit den Bauelementen 8 eine Einheit bildet. Hierbei zeigen sich nicht nur die Vorteile bei der elektrischen Kontaktierung wie diese auch bereits mit den Anordnungen nach den Figuren 6, 7 und 9 erreicht wurde. Zusätzlich läßt sich bei der Ausgestaltung nach Figur 10 noch der Produktionsablauf vereinfachen, weil die Bauelemente 8 nicht mehr als separate Bauteile ausgebildet werden müssen.

Ein weiteres Problem besteht darin, daß für die Schutzschaltungsanordnung jeder einzelnen Brennstoffzelle ein eigenes Bezugspotential zu wählen ist, was z.B. eine jeweils getrennte Stromversorgung der Steuereinheit bedingt. Es ist aber andererseits sinnvoll, die Stromversorgung aller Steuereinheiten der Brennstoffzelle selbst zu entnehmen, wobei mögliche Betriebsspannungsschwankungen ausgeglichen werden sollen.

Dieses Problem kann dadurch gelöst werden, daß die Spannung der einzelnen Brennstoffzellen einem Verstärker bzw. Komparator zugeführt wird, der einen steuerbaren Schalter steuert. Anstelle eines steuerbaren Schalters können auch mehrere parallel liegende steuerbare Schalter gesteuert werden. Dadurch verringert sich nochmals der ohmsche Widerstand.

Eine spezielle Schaltungsauslegung sichert, daß der Einschaltzeitpunkt des steuerbaren Schalters innerhalb des Spannungsbereiches der Spannung der einzelnen Brennstoffzelle beliebig einstellbar ist.

Die Veränderung des Einschaltzeitpunktes wird durch eine zusätzliche (veränderbare) Hilfsspannung in Reihe zum Meßsignal der einzelnen Brennstoffzelle erreicht. Die Hilfsspannung ergibt sich durch Aufspaltung des virtuellen Massepunktes der Verstärker/Komparator-Schaltung und des Massepunktes der Spannungsversorgung des Verstärkers. Die Verstärkerbetriebsspannung wird als Spannung über zwei Zener-Diode (mit parallelliegendem Potentiometer) gewonnen, die über Stromquellen/Stromsenken an die Außenanschlüsse des Brennstoffzellenverbundsystems bzw. einer Hilfsbatterie angeschlossen sind. Die Stromquellen nehmen die restlichen Spannungsabfälle und so auch Betriebsspannungsschwankungen auf.

Figur 11 zeigt ein erstes Ausführungsbeispiel einer derartigen Schaltungsanordnung. Der Verstärker/Komparator V wird durch die beiden Stromquellen I_{Q1}, I_{Q2} (gleiche Größenordnung) potentialmäßig schwebend gespeist und seine Versorgungsspannung durch ein Potentialverschiebeelement S_C (beispielsweise zwei Zenerdioden), das eine Stabilisierung der Spannung bewirkt, auf $U_Z = 2U_B$ eingestellt. Der Abgriff P stellt das Bezugspotential ϕ_0 der Schaltung dar. Dieser Abgriff P ist gleichzeitig mit einem der beiden Pole der zu schützenden einzelnen Brennstoffzelle verbunden. Dieser einzelnen Brennstoffzelle parallel liegt das Leistungsschutzelement T, zweckmäßig ein Feldeffekt- oder Darlington-Bipolartransistor.

Der Verstärker hat die virtuelle Masse M auf genau der halben Betriebsspannung. Zwischen Potentiometerabgriff P und virtueller Masse M entsteht die Hilfsspannung ($U_2 = k'2U_B$):

$$U_H = U_B - U_2, \Rightarrow -U_B \leq U_H \leq U_B,$$

so daß M das Potential $\phi_C = \phi_0 - U_H$ besitzt.

Der Verstärker/Komparator V (mit der Eingangsspannung U_e) ist eingesseitig an die einzelne Brennstoffzelle (Anschluß B') geschaltet und es gilt:

$$U_e = \phi_a - \phi_c = \phi_a - \phi_0 + U_H = U_Q + U_H.$$

U_Q ist die Zellenspannung der Batterie im Umkehrzustand >0 . Hat der Verstärker/Komparator die Übertragungscharakteristik $U_a = kU_e$ für die Ausgangsspannung U_a ($k>0$: nichtinvertierend; $k<0$: invertierend; entsprechend den Darstellung in den Figuren 12 und 13), so beträgt das Ausgangspotential:

$$\phi_d = U_a + \phi_c = kU_e + \phi_0 - U_H.$$

Im Komparator- bzw. Sättigungsbetrieb erreicht kU_e maximal die Werte $+U_B$ bzw. $-U_B$. Damit steht als Steuersignal für den Leistungsschalter die Spannung

$$\phi_d - \phi_0 = U_{GS} = +U_B \text{ (bzw. } -U_B\text{)} - U_H$$

zur Verfügung, die je nach Auslegung maximal zwischen $-2U_B \leq U_{GS} \leq 2U_B$ liegen kann. Da die Komparatorschaltung (bzw. Verstärkeranordnung) bei $U_e = 0$ (das heißt bei $\phi_0 - \phi_a = U_H$) umschaltet und $(\phi_a - \phi_0)$ durch den jeweiligen Zustand der einzelnen Brennstoffzellen gegeben ist (dabei bedeutet: $(\phi_a - \phi_0) < 0$: Normalbetrieb; $(\phi_a - \phi_0) > 0$: Umkehrbetrieb, Gefährdung der Zelle), kann der Umschaltpunkt durch die Wahl von $U_H = U_B - U_2$ (größer, gleich oder kleiner als 0) und somit durch das Spannungsteilungselement (Potentiometer R_p) beliebig eingestellt werden.

Als steuerbarer Schalter T kann zweckmäßigerweise ein MOS-Leistungs-FET verwendet werden, der der einzelnen Brennstoffzelle mit seiner Source-Drain-Strecke so parallelgeschaltet wird, daß es bei Sperrung der Zelle im Widerstands- bzw. Sättigungsbetrieb arbeitet (Zellensperrschaftung). Grundsätzlich ist auch ein entsprechender Betrieb an der flußgepolten Einzelzelle möglich, doch sollte die Zellensperrschaftung vorgezogen werden.

Ohne Anliegen des Steuersignales U_{GS} (genau genommen also für $U_{GS} < U_{TH}$, U_{TH} Schwellspannung des n-Kanal-Anreicherungstransistors) wird der n-Kanal Transistor nach Figur 12:

- ausgeschaltet beim Anreicherungs-FET und
- eingeschaltet beim Verarmungs-FET.

Sinngemäß kann die Schutzschaltung gemäß Figur 13 auch für einen Komplementär-Leistungsschalter ausgelegt werden.

Im ausgeschalteten Zustand fließt durch die Source-Drain-Strecke des Feldeffekttransistors gemäß Figur 11 nur ein vernachlässigbarer Reststrom, was sich

aus der Darstellung in Figur 14 ergibt. Im eingeschalteten Zustand beträgt der Widerstand (im Betriebsmodus Widerstandsbereich) etwa:

$$R = k / (U_{GS} - U_{TH}).$$

Dabei liegt die Spannung U_{DS} unter der Sättigungsspannung U_{DSP} , die bei Leistungstransistoren etwa zwischen 0,1 und 2 V liegt. Es gibt keine Schwellspannung U_F in der $I_D - U_{DS}$ -Kennlinie, wie dies etwa bei einer Halbleiterdiode der Fall ist, bei der die Schwellspannung U_F etwa 0,7 V beträgt. Durch die Steuerspannung U_{GS} läßt sich der Einschaltwiderstand R stufenlos zwischen ∞ (Transistor ausgeschaltet) und einem Minimalwert (transistorgegeben) steuern.

Der einstellbare Widerstand R richtet sich nach dem erforderlichen Maximalstrom durch die Zelle im Sperrzustand, er kann gegebenenfalls durch die Parallelschaltung mehrerer Transistoren verkleinert werden und wird vom benutzten Transistortyp bestimmt.

Soll beispielsweise als steuerbarer Schalter ein n-Kanal-Anreicherungstransistor dienen, der bei Spannungsumkehr der Einzelzelle umschaltet (also für die Bedingung $\phi_a > \phi_0$), so muß wegen $U_{GS} > 0$ das Gatepotential ϕ_d gegenüber ϕ_0 ansteigen, um den Transistor einzuschalten. Da in diesem Fall das Ausgangspotential den Wert $\phi_d = U_B - U_H + \phi_0$ (bei nichtinvertierendem Verstärker/Komparator) hat, wird der Transistor eingeschaltet. An einem Umkehrkomparator würde hingegen $\phi_d = -U_B - U_H + \phi_0$ auftreten und der Transistor wird ausgeschaltet.

Genaugenommen lautet die Einschaltbedingung durch die Transistorschwellspannung $U_{GS} - U_{TH} > 0$, d.h. $U_{GS} > U_{TH}$. Umgekehrt würde ein Verarmungs-n-Kanal-Transistor im ersten Fall ausgeschaltet, im zweiten eingeschaltet.

Ohne Einschränkung der Allgemeinheit kann als Bezugspotential ϕ_0 auch der Minuspol B' der einzelnen Brennstoffzelle gewählt werden. Dann sind die Steuerbedingungen des steuerbaren Schalters entsprechend zu modifizieren.

Bei Verwendung eines Feldeffekttransistors sollte der Bulkanschluß so (negativ) vorgespannt werden, daß die Substratdiode sowohl im Vorwärts- wie auch im Rückwärtsbetrieb des Transistors gesperrt bleibt.

Ist kein Bulkanschluß vorhanden, so müssen Drain und Spurce vertauscht werden, also genau umgekehrt zu der in Figur 11 gezeigten Schaltungsanordnung. Dadurch befindet sich die Substratdiode im nicht-verpolten Feld (Normalzustand) im gespererten Zustand.

Als steuerbarer Schalter kann auch ein Darlington-Bipolartransistor dienen. Dabei sind für einen npn-Transistor die Anschlußpunkte B' = Kollektor, A' = Emitter zu wählen und die Steuerspannung U_{BE} hat sinngemäß das gleiche Vorzeichen wie U_{GS} .

Der Darlingtontransistor bietet gegenüber dem gewöhnlichen Bipolarleistungstransistor den großen Vorteil des deutlich geringeren Steuerstromes (im mA-Bereich). Wegen des großen erforderlichen Ausgangsstromes im Bereich zwischen 50A und 100A wären sonst Steuerströme im A-Bereich erforderlich, die die Schutzschaltung nicht aufbringen kann.

Für die Stromquellen/Stromsenken I_{Q1}, I_{Q2} gibt es verschiedene Realisierungen, auf die hier nicht weiter eingegangen wird. Als Potentialverschiebeelemente können beispielsweise eine oder mehrere reihengeschaltete Zenerdioden verwendet werden.

Weiterhin muß dafür gesorgt werden, daß über den Stromquellen ein ausreichender Spannungsabfall auftritt. Das kann insbesondere bei der Verarbeitung von Signalen der Randzellen des Brennstoffzellenverbundsystems problematisch sein. Während die Stromversorgung des Verstärkers/Komparators über Stromquellen aus dem Brennstoffzellenverbundsystem stets möglich ist, wenn die zu schützende einzelne Brennstoffzelle im mittleren Teil des Brennstoffzellenverbundsystems liegt, können bei einer einzelnen Brennstoffzelle, die sich im Randbereich des Brennstoffzellenverbundsystems befindet, Probleme auftreten. Es kann dann passieren, daß für eine der beiden Stromquellen kein hinreichender Spannungsabfall mehr zur Verfügung steht.

Bei Verwendung einer Schaltung nach dem Ausführungsbeispiel nach Figur 15 ergeben sich folgende Steuerungsbedingungen. Das Potential ϕ_a des Batteriepol B', der das Meßsignal liefert, wird mit einer Potentialverschiebeschaltung (U_{V1}, I_{Q3}) um die Spannung U_{V1} auf

$$\phi_a' = \phi_a - U_{V1}$$

verschoben. Dasselbe gilt für den Ausgangsmassepunkt P, dessen Potential mit der Potentialverschiebeschaltung U_{V2}, I_{Q4} zwischen den Punkten A, B des Brennstoffzellenverbundsystems auf

$$\phi_0' = \phi_0 - U_{V2}$$

verschoben wird.

Dann hat die virtuelle Masse M das Potential $\phi_c' = \phi_0' - U_H$, wobei gilt $U_H = U_B - U_2$.

Am Verstärkerausgang liegt das Steuersignal

$$U_e = \phi_a' - \phi_c' = \phi_a - UV_1 - \phi_0 + UV_2 + U_H = \phi_a - \phi_0 + U_H, \text{ mit } UV_1 = UV_2.$$

Die Hilfsspannung kann jetzt zusätzlich noch durch UV_1 oder UV_2 modifiziert werden.

Das Ausgangspotential beträgt:

$$\phi_d' = U_a + \phi_c' = kU_e + \phi_c' \Rightarrow +U_B + \phi_c' \text{ bzw. } -U_B + \phi_c'.$$

Die Steuerspannung des steuerbaren Schalters T (n-Kanal-Anreicherungs-FET) beträgt:

$$U_{GS} = \phi_d' - \phi_0 = U_a + \phi_c' - \phi_0 = +U_B \text{ (bzw. } -U_B\text{)} + U_a - UV_2 - U_H.$$

Für die Einschaltspannung ist wieder die Spannung $U_{GS} - U_{TH}$ maßgebend. Die Verschiebespannung UV sollte in der Größenordnung der Versorgungsspannung U_B liegen.

Die Schaltung nach Figur 15 kann ausgelegt werden für steuerbare Schalter wie beispielsweise n-/oder p-Kanal Verarmungs-/Anreicherungs-MOSFET, npn-Darlingtontransistor, die dazu komplementären Transistortypen, für die am unteren Ende (bei B-) liegenden letzten einzelnen Brennstoffzellen oder auch für die Wahl von B' statt A' als gemeinsames Bezugspotential ϕ_0 .

Eine weitere Ausgestaltung des Ausgangskreises ergibt sich gemäß Figur 16, wonach der Verstärkerausgang auf eine Spannungsrückverschiebeschaltung bestehend aus den beiden Stromquellen I_{Q5}, I_{Q6} und dem Verschiebeelement UV_3 arbeitet, wobei die beiden Stromquellen I_{Q5} und I_{Q6} möglichst gleich sind. Die Steuerspannung beträgt:

$$U_{GS} = \phi_a - \phi_0 = \phi_d' + UV_3 - \phi_0 = +U_B \text{ (bzw. } -U_B\text{)} + UV_3 - UV_2 - U_H$$

mit dem Sonderfall $UV_3 = UV_2$.

Die Stromquelle I_{Q5} sollte dabei eine möglichst geringe Compliance-Spannung haben (unter der Schwellspannung von T), was z.B. mit einem Verarmungs-Feldeffekttransistor hinreichend gut realisierbar ist.

Eine weitere Ausgestaltung der Schaltungsanordnung ergibt sich gemäß Figur 17, wonach vom Ausgang des Verstärkers ein oder mehrere reihengeschaltete Optokoppler angeschaltet werden, deren Ausgangsleerlaufspannungen reihengeschaltet sind, entsprechend den Darstellungen in den Figuren 18 bis 20. Die Zahl der Optokoppler

wird durch die erforderliche Einschaltspannung des steuerbaren Schalters T bestimmt. Die Ausgangsleerlaufspannung eines Kopplers liegt bei etwa 1V.

Der Optokoppler kann zwischen Verstärkerausgang und virtuellem Massenpunkt M bzw. Punkt P geschaltet werden, ebenso ist bei positiver Verstärkerausgangsspannung U_A die Flußpolung des Optokopplers möglich. Ebenso ist eine Sperrpolung möglich.

Die Ausgangsschaltung mit Optokopplern nach Figur 17 kann auch auf andere Ausführungsbeispiele von Schaltungsanordnungen angewendet werden (Figuren 11 und 15). Dabei kann auf eine Spannungsrückverschiebeschaltung U_{V3} , U_{Q5} , U_{Q6} verzichtet werden.

Die Schaltungsanordnung nach Figur 17 eignet sich wegen des größeren Ausgangstromes des Optokopplers (einige mA) besonders für Darlington-Leistungsschalter.

Die Schaltungsanordnung nach Figur 17 ist auch für die steuerbaren Schalter und übrigen Einsatzbedingungen verwendbar, die im Zusammenhang mit den Figuren 11 und 15 erläutert wurden.

Patentansprüche

1. Schaltungsanordnung für ein Brennstoffzellenverbundsystem (1), das aus mehreren einzelnen in Reihe geschalteten einzelnen Brennstoffzellen (2, 3, 4, 5, 6, 7) besteht, wobei eine Spannungsüberwachung der einzelnen Brennstoffzellen (2, 3, 4, 5, 6, 7) erfolgt,
dadurch gekennzeichnet, daß Bauelemente (8, 9, 10, T) vorhanden sind, mittels denen die einzelnen Brennstoffzellen (2, 3, 4, 5, 6, 7) im Sinne einer niederohmigen Parallelschaltung überbrückbar sind.
2. Schaltungsanordnung nach Anspruch 1,
dadurch gekennzeichnet, daß die Bauelemente (8) Dioden (9) sind.
3. Schaltungsanordnung nach Anspruch 2,
dadurch gekennzeichnet, daß die Bauelemente (8) steuerbare Schalter (10, T) sind.
4. Schaltungsanordnung nach Anspruch 3,
dadurch gekennzeichnet, daß die steuerbaren Schalter (10, T) MOS-Feldeffekttransistoren sind.
5. Schaltungsanordnung nach einem der vorhergehenden Ansprüche,
dadurch gekennzeichnet, daß die Bauelemente (8, 9, 10, T) außen am Brennstoffzellenverbundsystem (1) angebracht sind.
6. Schaltungsanordnung nach einem der Ansprüche 1 bis 4,
dadurch gekennzeichnet, daß die Bauelemente (8, 9, 10, T) in das Brennstoffzellenverbundsystem (1) integriert sind.
7. Schaltungsanordnung nach Anspruch 6,
dadurch gekennzeichnet, daß die Bauelemente (8, 9, 10, T) in den Rand des Brennstoffzellenverbundsystems (1) integriert sind.
8. Schaltungsanordnung nach Anspruch 6,

dadurch gekennzeichnet, daß die Bauelemente (8, 9, 10, T) über die Querschnittsfläche des Brennstoffzellenverbundsystems (1) verteilt in das Brennstoffzellenverbundsystem (1) integriert sind.

9. Schaltungsanordnung nach Anspruch 8,

dadurch gekennzeichnet, daß ein Kühlsystem (14) in das Brennstoffzellenverbundsystem (1) integriert ist.

10. Schaltungsanordnung nach einem der Ansprüche 3 bis 9,

dadurch gekennzeichnet, daß eine Ansteuerung des steuerbaren Schalters (T) erfolgt über den Ausgang eines Verstärkers bzw. Komparators (V), dessen Ausgang an den Steueranschluß (G) des steuerbaren Schalters (T) angeschlossen ist, dessen Eingang mit dem einen Anschluß (B') der einzelnen Brennstoffzelle verbunden ist, wobei die Energieversorgung des Verstärkers bzw. Komparators (V) erfolgt, indem der Verstärker bzw. Komparator (V) über Stromquellen bzw. Stromsenken (I_{Q1}, I_{Q2}) an die Anschlußklemmen einer Batterieanordnung angeschlossen ist, wobei den Anschlüssen zur Energieversorgung weiterhin eine Potentialverschiebeelement parallelgeschaltet ist, wobei diesem Potentialverschiebeelement ein Spannungsteilungselement (R_p) parallelgeschaltet ist, dessen Abgriff mit dem anderen Anschluß (A') der einzelnen Brennstoffzelle verbunden ist.

11. Schaltungsanordnung nach Anspruch 10,

dadurch gekennzeichnet, daß insbesondere bei den Brennstoffzellen, die am Rand des Brennstoffzellenverbundsystems (1) angeordnet sind zwischen den einen Anschluß (B') der einzelnen Brennstoffzelle und den Eingang des Verstärkers bzw. Komparators (V) sowie zwischen den Abgriff des Spannungsteilungselementes (R_p) und den anderen Anschluß (A') der einzelnen Brennstoffzelle jeweils eine Potentialverschiebeschaltung (U_{V1}, U_{V2}) angeordnet ist.

12. Schaltungsanordnung nach Anspruch 10 oder 11,

dadurch gekennzeichnet, daß zwischen den Ausgang des Komparators bzw. Verstärkers (V) und den Steueranschluß (T) des steuerbaren Schalters eine Potentialverschiebeschaltung (U_{V3}) eingebracht ist.

13. Schaltungsanordnung nach einem der Ansprüche 3 bis 11,

dadurch gekennzeichnet, daß die Spannungen der einzelnen Brennstoffzellen mittels eines Verstärkers bzw. Komparators (V) bewertet werden, dessen Ausgang mit

wenigstens einem Optokoppler verbunden ist, wobei die Steuerung des steuerbaren Bauelementes (T) über den Optokoppler erfolgt.

14. Schaltungsanordnung nach einem der Ansprüche 1 bis 13,
dadurch gekennzeichnet, daß die Schaltungsanordnung durch eine oder mehrere integrierte Schaltungengebildet wird.
15. Verfahren zum Betreiben einer Schaltungsanordnung nach einem der Ansprüche 1 bis 14,
dadurch gekennzeichnet, daß die Brennstoffzellen (2, 3, 4, 5, 6, 7) überbrückt werden, wenn deren Spannung betragsmäßig unter einen bestimmten Schwellwert fällt oder wenn deren Spannung gegenüber dem Normalbetrieb das Vorzeichen geändert hat.
16. Verfahren zum Betreiben einer Schaltungsanordnung nach einem der Ansprüche 3 bis 14,
dadurch gekennzeichnet, daß die steuerbaren Schalter (10, T) angesteuert werden, wenn eine Entladung des Brennstoffzellenverbundsystems (1) erfolgen soll.

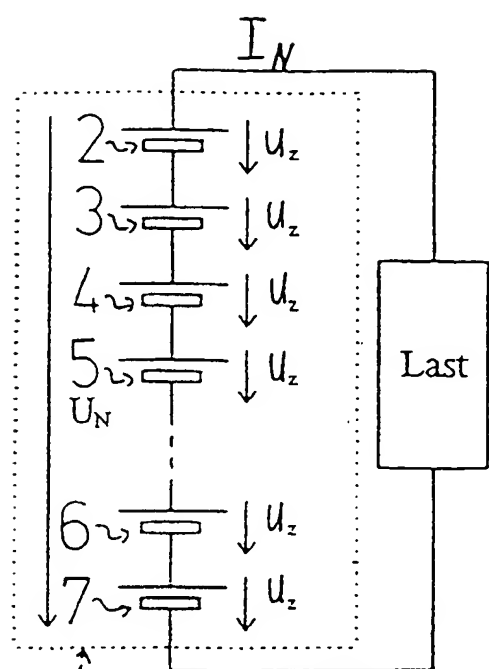


Fig. 1

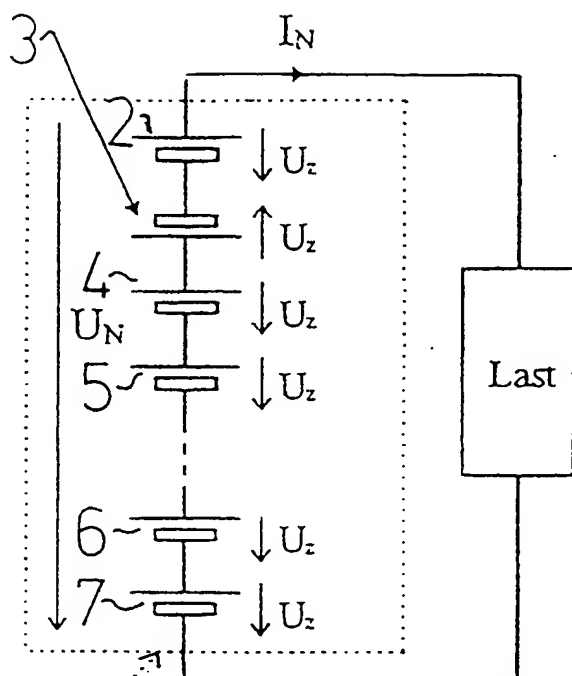


Fig. 2

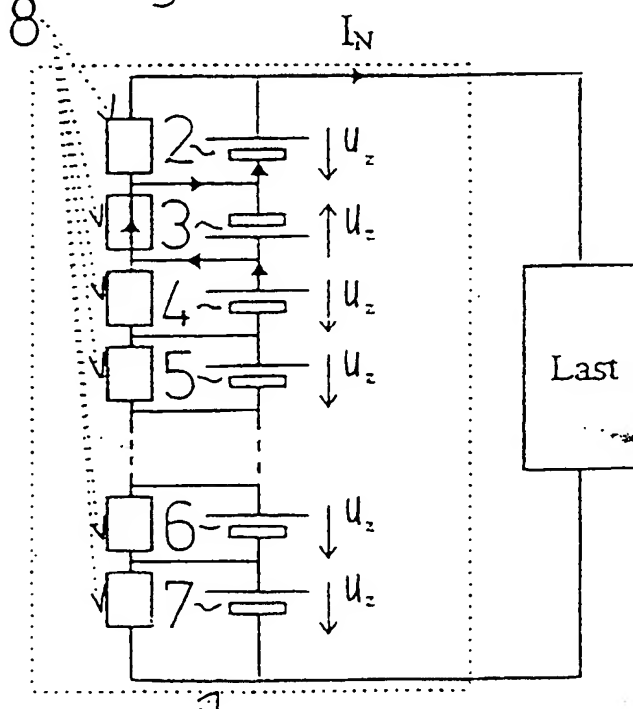


Fig. 3

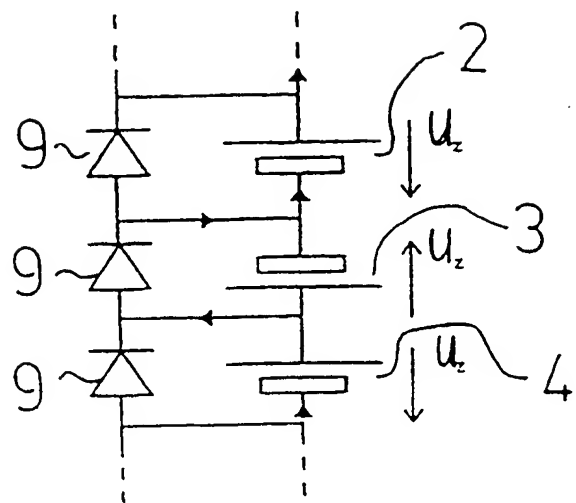


Fig. 4

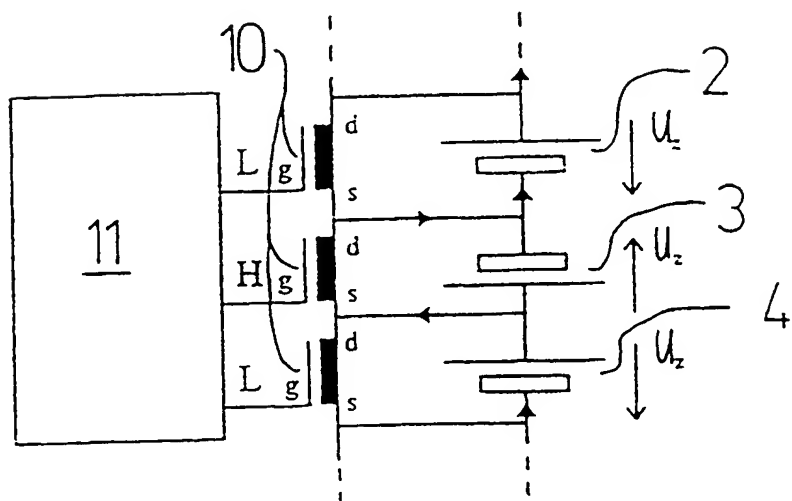


Fig. 5

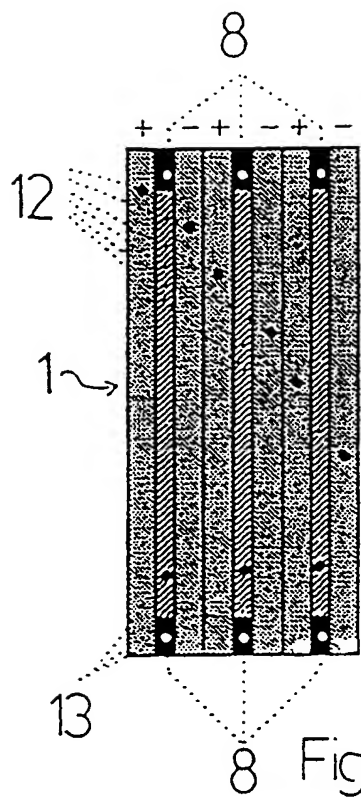


Fig. 6

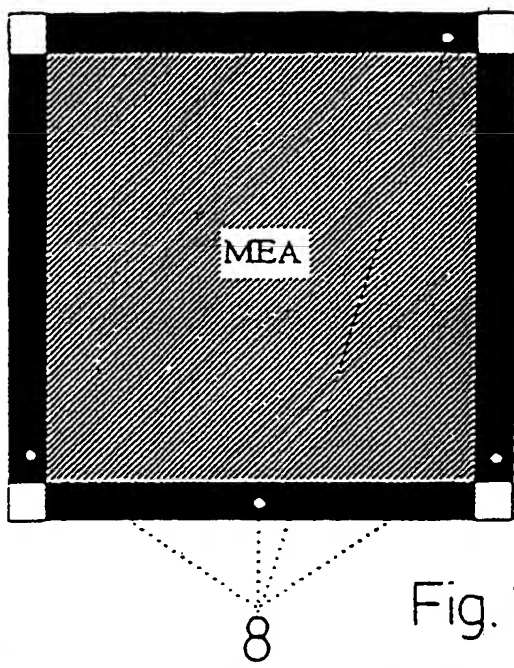


Fig. 7

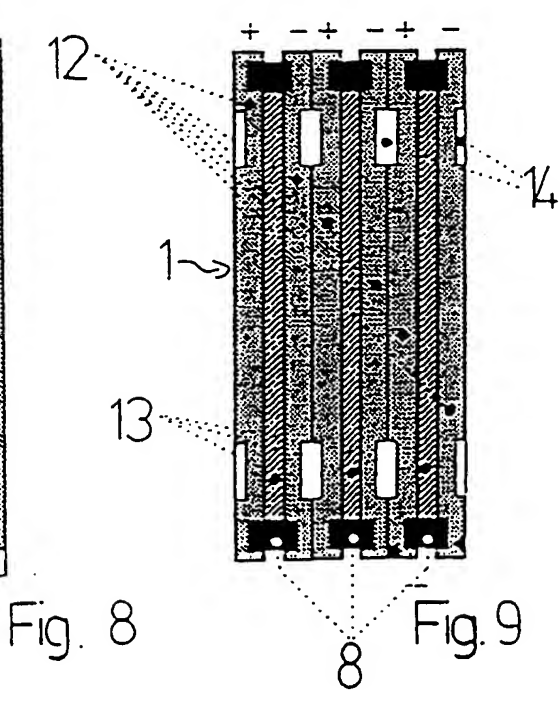
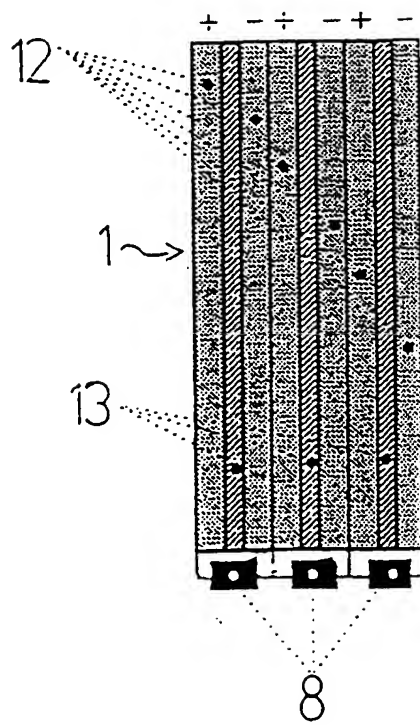
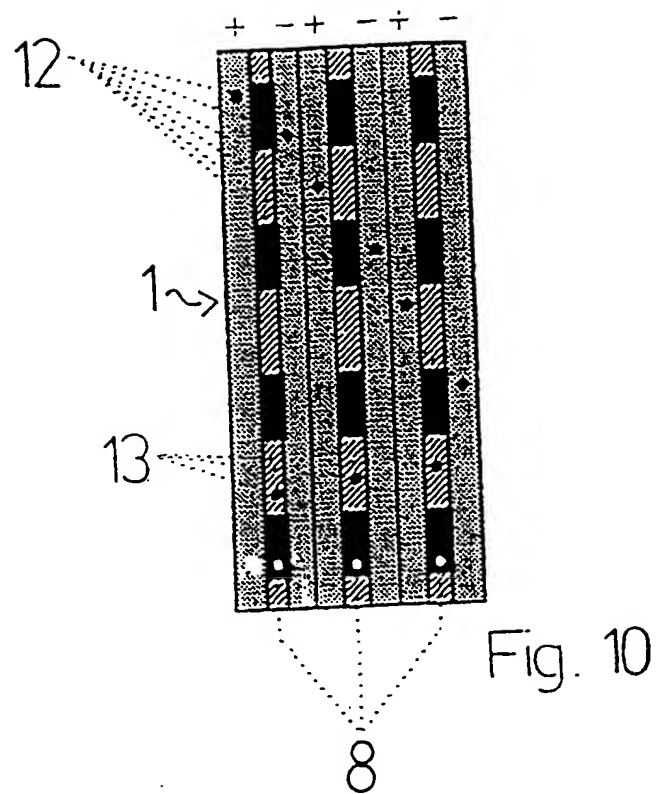
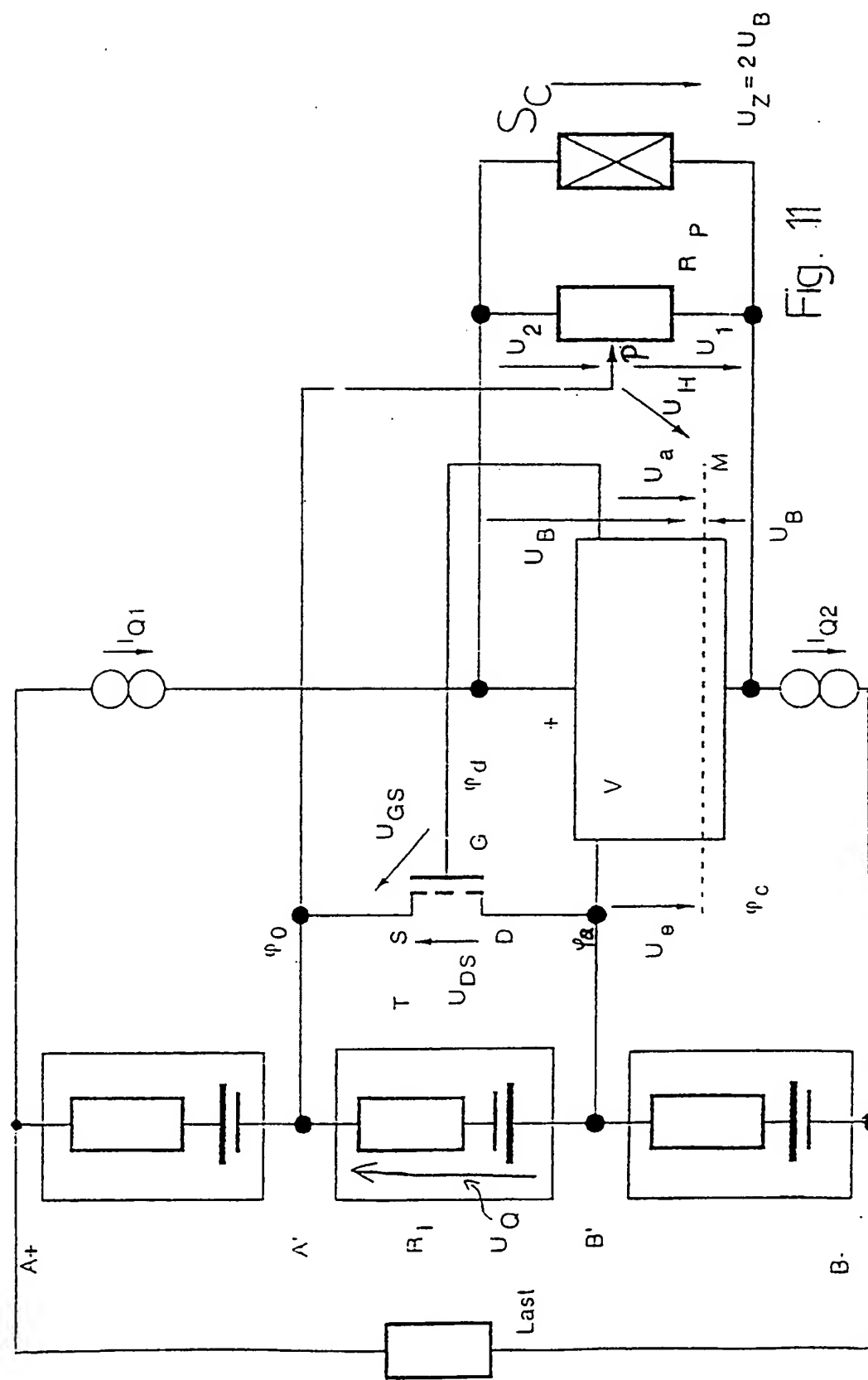


Fig. 8

Fig. 9





11

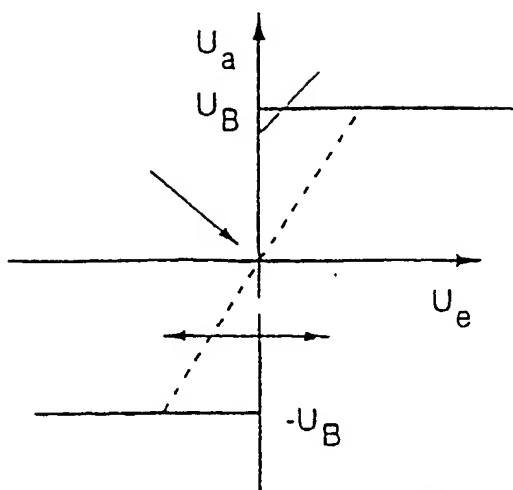


Fig. 12

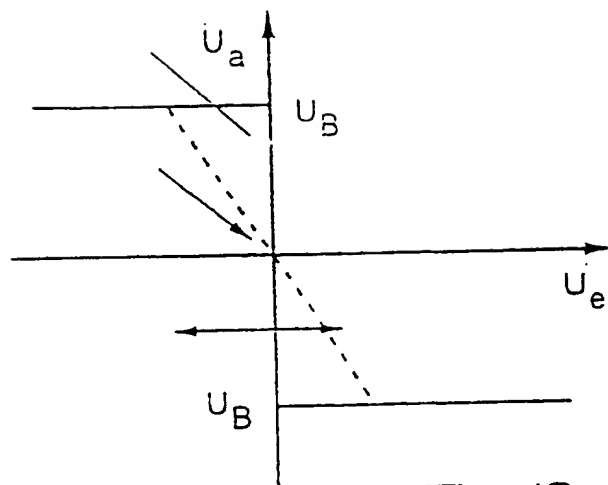


Fig. 13

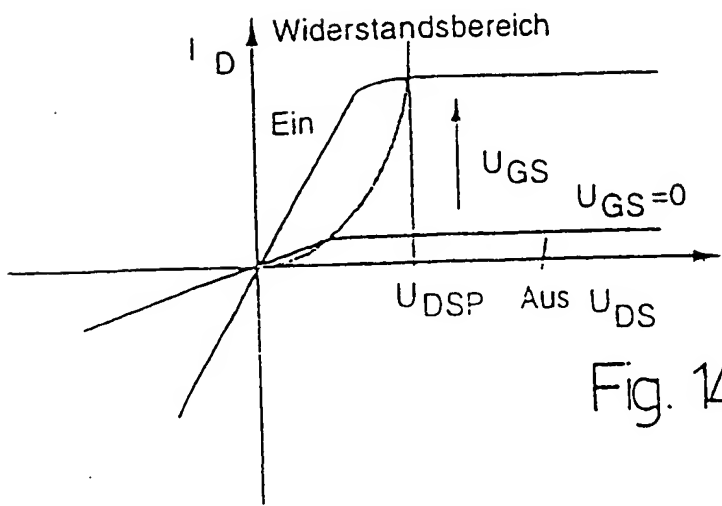


Fig. 14

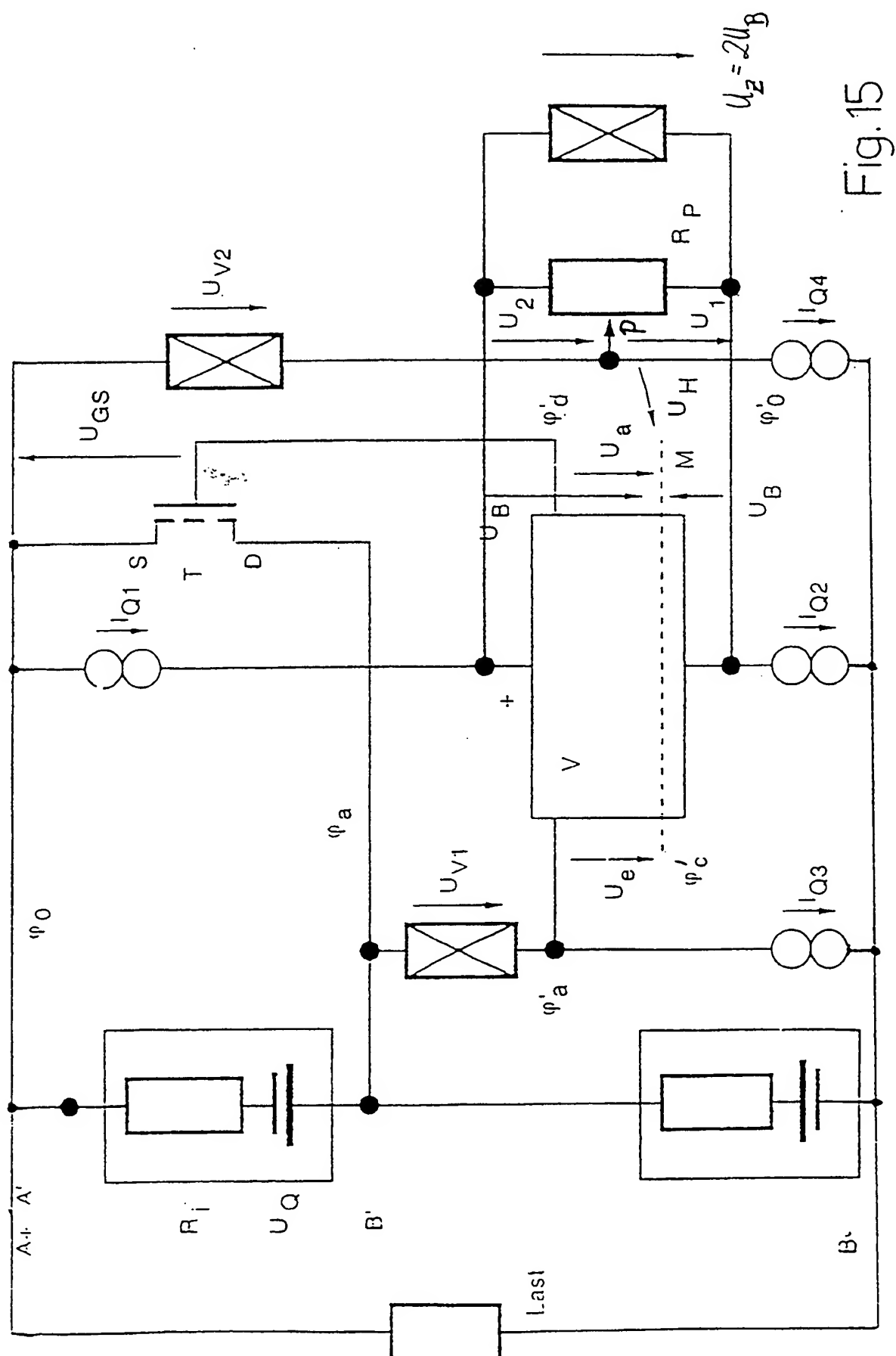


Fig. 15

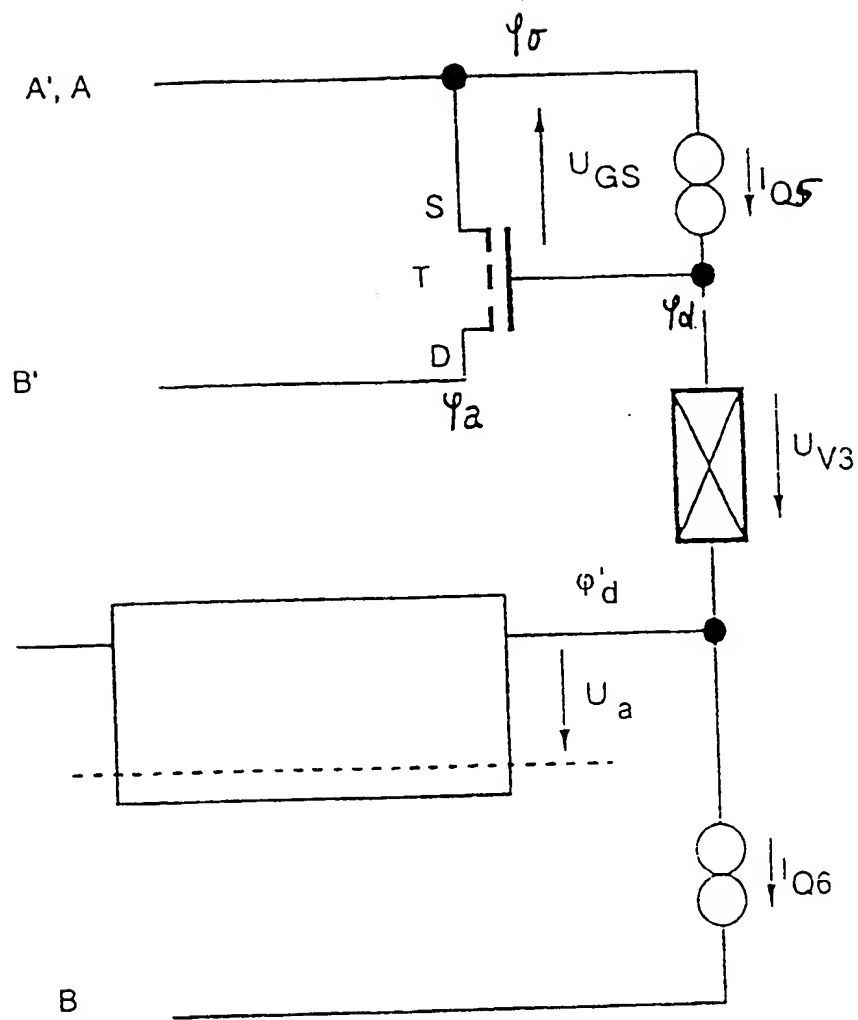


Fig.16

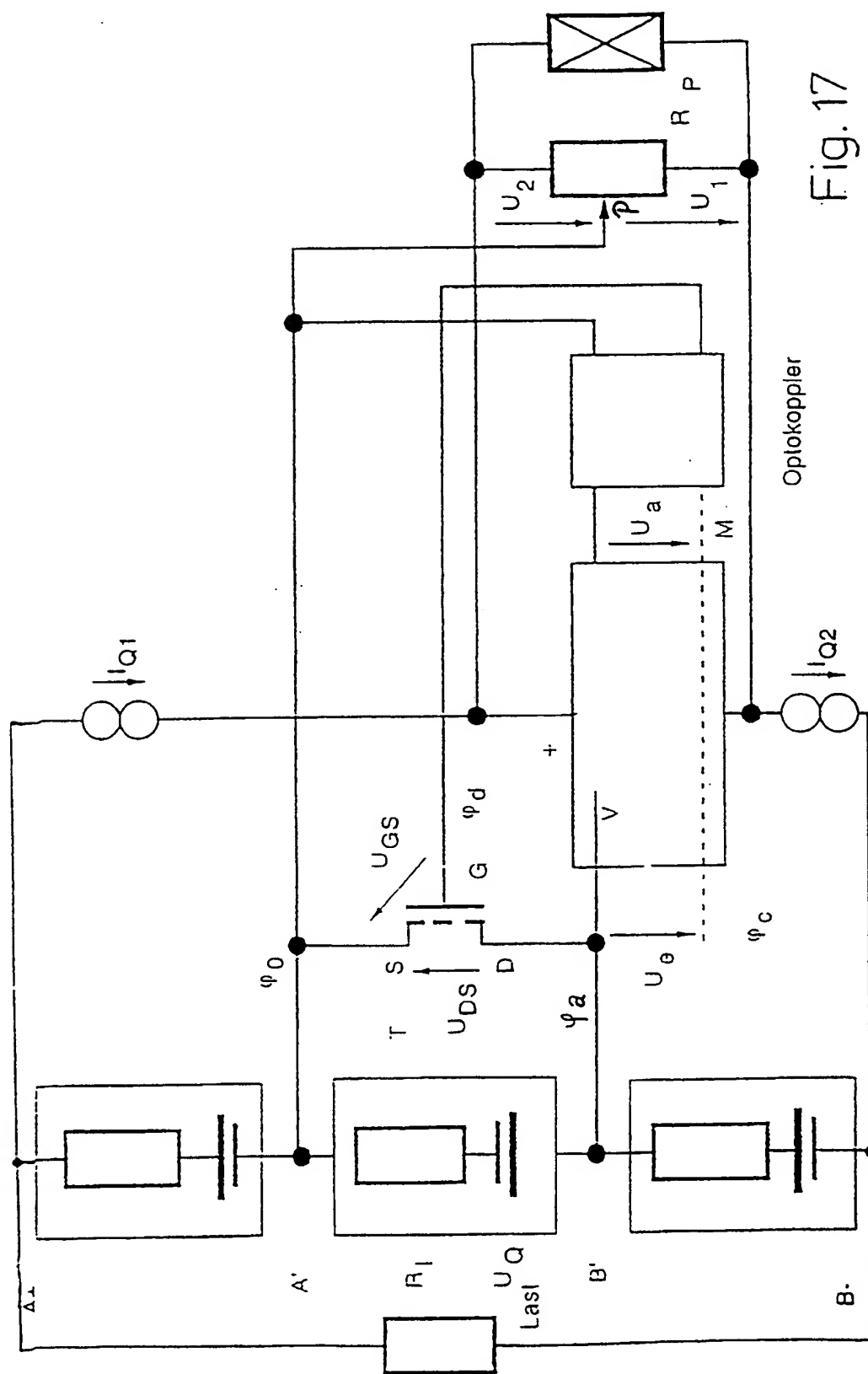


Fig. 17

Optokoppler

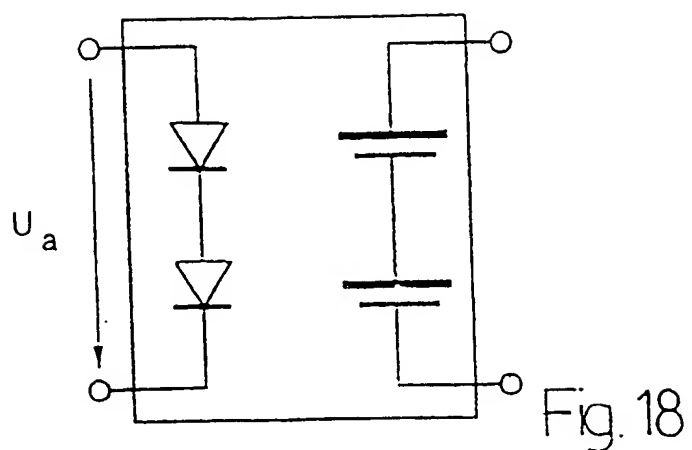


Fig. 18

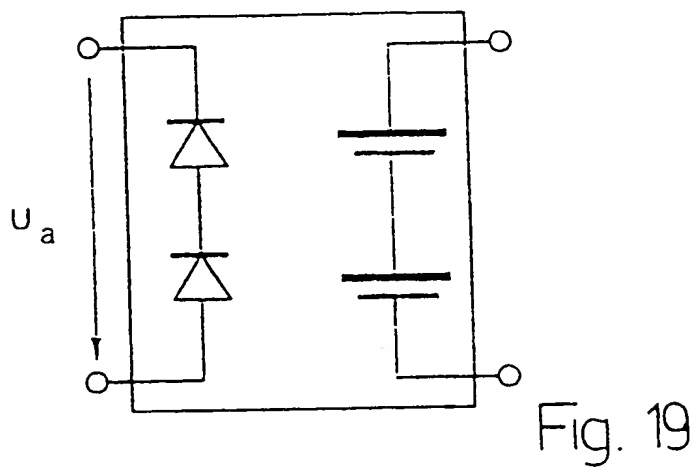


Fig. 19

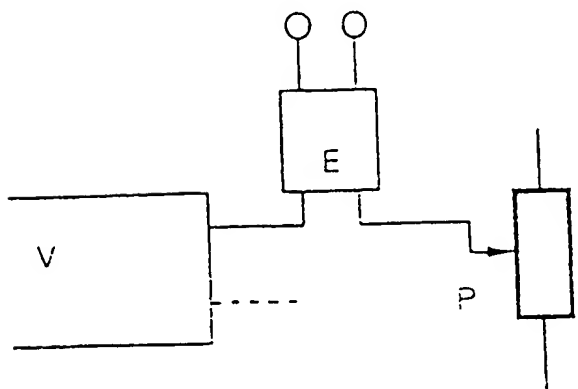


Fig. 20

INTERNATIONAL SEARCH REPORT

International Application No
PCT/EP 99/03168

A. CLASSIFICATION OF SUBJECT MATTER

IPC 6 H02J7/00

According to International Patent Classification (IPC) or to both national classification and IPC

B. FIELDS SEARCHED

Minimum documentation searched (classification system followed by classification symbols)

IPC 6 H02J H01M

Documentation searched other than minimum documentation to the extent that such documents are included in the fields searched

Electronic data base consulted during the international search (name of data base and, where practical, search terms used)

C. DOCUMENTS CONSIDERED TO BE RELEVANT

Category	Citation of document, with indication, where appropriate, of the relevant passages	Relevant to claim No.
Y	GB 2 129 237 A (WESTINGHOUSE ELECTRIC CORP) 10 May 1984 (1984-05-10) the whole document ---	1-4,15
Y	EP 0 226 360 A (POWERPLEX TECHN INC) 24 June 1987 (1987-06-24) the whole document ---	1,2,15
Y	US 5 683 827 A (YU HO-YUAN) 4 November 1997 (1997-11-04) the whole document ---	1,3,4
A	DE 195 26 836 A (FRAUNHOFER GES FORSCHUNG) 23 January 1997 (1997-01-23) the whole document ---	1-16 -/-

Further documents are listed in the continuation of box C.

Patent family members are listed in annex.

* Special categories of cited documents :

- "A" document defining the general state of the art which is not considered to be of particular relevance
- "E" earlier document but published on or after the international filing date
- "L" document which may throw doubts on priority claim(s) or which is cited to establish the publication date of another citation or other special reason (as specified)
- "O" document referring to an oral disclosure, use, exhibition or other means
- "P" document published prior to the international filing date but later than the priority date claimed

"T" later document published after the International filing date or priority date and not in conflict with the application but cited to understand the principle or theory underlying the invention

"X" document of particular relevance; the claimed invention cannot be considered novel or cannot be considered to involve an inventive step when the document is taken alone

"Y" document of particular relevance; the claimed invention cannot be considered to involve an inventive step when the document is combined with one or more other such documents, such combination being obvious to a person skilled in the art.

"&" document member of the same patent family

Date of the actual completion of the international search

27 August 1999

Date of mailing of the international search report

03/09/1999

Name and mailing address of the ISA

European Patent Office, P.B. 5818 Patentlaan 2
NL - 2280 HV Rijswijk
Tel. (+31-70) 340-2040, Tx. 31 651 epo nl,
Fax: (+31-70) 340-3016

Authorized officer

Moyle, J

INTERNATIONAL SEARCH REPORTIn' tional Application No
PCT/EP 99/03168**C.(Continuation) DOCUMENTS CONSIDERED TO BE RELEVANT**

Category	Citation of document, with indication, where appropriate, of the relevant passages	Relevant to claim No.
A	PATENT ABSTRACTS OF JAPAN vol. 096, no. 006, 28 June 1996 (1996-06-28) & JP 08 050902 A (FUJI ELECTRIC CO LTD), 20 February 1996 (1996-02-20) abstract ---	1-16
A	US 5 156 928 A (TAKABAYASHI YASUHIRO) 20 October 1992 (1992-10-20) the whole document -----	1-16

INTERNATIONAL SEARCH REPORT

Information on patent family members

Int'l Application No

PCT/EP 99/03168

Patent document cited in search report		Publication date	Patent family member(s)		Publication date
GB 2129237	A	10-05-1984	DE	3321421 A	26-04-1984
			FR	2535117 A	27-04-1984
			JP	59075570 A	28-04-1984
EP 0226360	A	24-06-1987	US	4719401 A	12-01-1988
			CA	1266298 A	27-02-1990
			JP	62221826 A	29-09-1987
US 5683827	A	04-11-1997	NONE		
DE 19526836	A	23-01-1997	WO	9704513 A	06-02-1997
JP 08050902	A	20-02-1996	NONE		
US 5156928	A	20-10-1992	JP	2782854 B	06-08-1998
			JP	3141560 A	17-06-1991
			DE	4034183 A	02-05-1991

INTERNATIONALER RECHERCHENBERICHT

Internationales Aktenzeichen

PCT/EP 99/03168

A. KLASIFIZIERUNG DES ANMELDUNGSGEGENSTANDES

IPK 6 H02J/00

Nach der Internationalen Patentklassifikation (IPK) oder nach der nationalen Klassifikation und der IPK

B. RECHERCHIERTE GEBIETE

Recherchierte Mindestprässtoff (Klassifikationssystem und Klassifikationssymbole)

IPK 6 H02J H01M

Recherchierte aber nicht zum Mindestprässtoff gehörende Veröffentlichungen, soweit diese unter die recherchierten Gebiete fallen

Während der internationalen Recherche konsultierte elektronische Datenbank (Name der Datenbank und evtl. verwendete Suchbegriffe)

C. ALS WESENTLICH ANGESEHENE UNTERLAGEN

Kategorie*	Bezeichnung der Veröffentlichung, soweit erforderlich unter Angabe der in Betracht kommenden Teile	Betr. Anspruch Nr.
Y	GB 2 129 237 A (WESTINGHOUSE ELECTRIC CORP) 10. Mai 1984 (1984-05-10) das ganze Dokument ---	1-4, 15
Y	EP 0 226 360 A (POWERPLEX TECHN INC) 24. Juni 1987 (1987-06-24) das ganze Dokument ---	1, 2, 15
Y	US 5 683 827 A (YU HO-YUAN) 4. November 1997 (1997-11-04) das ganze Dokument ---	1, 3, 4
A	DE 195 26 836 A (FRAUNHOFER GES FORSCHUNG) 23. Januar 1997 (1997-01-23) das ganze Dokument ---	1-16 -/-

Weitere Veröffentlichungen sind der Fortsetzung von Feld C zu entnehmen

Siehe Anhang Patentfamilie

- * Besondere Kategorien von angegebenen Veröffentlichungen :
- "A" Veröffentlichung, die den allgemeinen Stand der Technik definiert, aber nicht als besonders bedeutsam anzusehen ist
- "E" älteres Dokument, das jedoch erst am oder nach dem internationalen Anmeldedatum veröffentlicht worden ist
- "L" Veröffentlichung, die geeignet ist, einen Prioritätsanspruch zweifelhaft erscheinen zu lassen, oder durch die das Veröffentlichungsdatum einer anderen im Recherchenbericht genannten Veröffentlichung belegt werden soll oder die aus einem anderen besonderen Grund angegeben ist (wie ausgeführt)
- "O" Veröffentlichung, die sich auf eine mündliche Offenbarung, eine Benutzung, eine Ausstellung oder andere Maßnahmen bezieht
- "P" Veröffentlichung, die vor dem internationalen Anmeldedatum, aber nach dem beanspruchten Prioritätsdatum veröffentlicht worden ist

- "T" Spätere Veröffentlichung, die nach dem internationalen Anmeldedatum oder dem Prioritätsdatum veröffentlicht worden ist und mit der Anmeldung nicht kollidiert, sondern nur zum Verständnis des der Erfindung zugrundeliegenden Prinzips oder der ihr zugrundeliegenden Theorie angegeben ist
- "X" Veröffentlichung von besonderer Bedeutung; die beanspruchte Erfindung kann allein aufgrund dieser Veröffentlichung nicht als neu oder auf erfinderischer Tätigkeit beruhend betrachtet werden
- "Y" Veröffentlichung von besonderer Bedeutung; die beanspruchte Erfindung kann nicht als auf erfinderischer Tätigkeit beruhend betrachtet werden, wenn die Veröffentlichung mit einer oder mehreren anderen Veröffentlichungen dieser Kategorie in Verbindung gebracht wird und diese Verbindung für einen Fachmann nahelegend ist
- "&" Veröffentlichung, die Mitglied derselben Patentfamilie ist

Datum des Abschlusses der internationalen Recherche

Absendedatum des internationalen Recherchenberichts

27. August 1999

03/09/1999

Name und Postanschrift der Internationalen Recherchenbehörde
Europäisches Patentamt, P.B. 5818 Patenttaan 2
NL - 2280 HV Rijswijk
Tel. (+31-70) 340-2040, Tx. 31 651 epo nl.
Fax: (+31-70) 340-3016

Bevollmächtigter Bediensteter

Moyle, J

INTERNATIONALER RECHERCHENBERICHTIn internationales Aktenzeichen
PCT/EP 99/03168**C.(Fortsetzung) ALS WESENTLICH ANGESEHENE UNTERLAGEN**

Kategorie*	Bezeichnung der Veröffentlichung, soweit erforderlich unter Angabe der in Betracht kommenden Teile	Betr. Anspruch Nr.
A	PATENT ABSTRACTS OF JAPAN vol. 096, no. 006, 28. Juni 1996 (1996-06-28) & JP 08 050902 A (FUJI ELECTRIC CO LTD), 20. Februar 1996 (1996-02-20) Zusammenfassung ---	1-16
A	US 5 156 928 A (TAKABAYASHI YASUHIRO) 20. Oktober 1992 (1992-10-20) das ganze Dokument -----	1-16

INTERNATIONALER RECHERCHENBERICHT

Angaben zu Veröffentlichungen, die zur selben Patentfamilie gehören

Internationales Aktenzeichen

PCT/EP 99/03168

Im Recherchenbericht angeführtes Patentdokument	Datum der Veröffentlichung	Mitglied(er) der Patentfamilie		Datum der Veröffentlichung
GB 2129237 A	10-05-1984	DE	3321421 A	26-04-1984
		FR	2535117 A	27-04-1984
		JP	59075570 A	28-04-1984
EP 0226360 A	24-06-1987	US	4719401 A	12-01-1988
		CA	1266298 A	27-02-1990
		JP	62221826 A	29-09-1987
US 5683827 A	04-11-1997	KEINE		
DE 19526836 A	23-01-1997	WO	9704513 A	06-02-1997
JP 08050902 A	20-02-1996	KEINE		
US 5156928 A	20-10-1992	JP	2782854 B	06-08-1998
		JP	3141560 A	17-06-1991
		DE	4034183 A	02-05-1991

**This Page is Inserted by IFW Indexing and Scanning
Operations and is not part of the Official Record**

BEST AVAILABLE IMAGES

Defective images within this document are accurate representations of the original documents submitted by the applicant.

Defects in the images include but are not limited to the items checked:

- BLACK BORDERS**
- IMAGE CUT OFF AT TOP, BOTTOM OR SIDES**
- FADED TEXT OR DRAWING**
- BLURRED OR ILLEGIBLE TEXT OR DRAWING**
- SKEWED/SLANTED IMAGES**
- COLOR OR BLACK AND WHITE PHOTOGRAPHS**
- GRAY SCALE DOCUMENTS**
- LINES OR MARKS ON ORIGINAL DOCUMENT**
- REFERENCE(S) OR EXHIBIT(S) SUBMITTED ARE POOR QUALITY**
- OTHER:** _____

IMAGES ARE BEST AVAILABLE COPY.

As rescanning these documents will not correct the image problems checked, please do not report these problems to the IFW Image Problem Mailbox.